



بررسی جایگاه زمین‌ساختی و دما-فشارسنگی توده گابرویی منطقه کنگره (جنوب غرب کردستان) با استفاده از ترکیب کانی پیروکسن آن

فرهاد آلیانی، محمد معانی‌جو، زهرا صبوری*، میرمحمد میری

گروه زمین‌شناسی، دانشکده علوم پایه، دانشگاه بولعی سینا، همدان

(دریافت مقاله: ۹۶/۵/۷، نسخه نهایی: ۹۶/۹/۱)

چکیده: توده گابروی کنگره در جنوب استان کردستان و جنوب غربی منطقه قروه واقع است. این منطقه جزو پهنه سندنج - سیرجان به حساب می‌آید. دگرگونی‌های زمین‌ساختی طی مژوزئیک و فعالیت‌های ماقمایی صورت گرفته در نتیجه فرورانش سنگ‌کرده اقیانوسی نتوتیس به زیر صفحه ایران، سبب تشکیل سنگ‌های آذرین مختلفه شده است. نتایج بررسی‌های زمین‌شیمیایی کانی پیروکسن و سنگ کل نشان می‌دهند که این توده دارای طبیعت شبهرخشنانی بوده و به سری ماقمایی تولیتی تا آهکی-قلیایی تعلق دارد. نمونه‌های مورد بررسی دارای ویژگی‌های زمین‌شیمیایی سنگ‌های آذرین فرورانشی مانند ناهنجاری منفی عناصر P, Nb, Ti و Zr و ناهنجاری مثبت عناصر Rb, Sr و Eu هستند. نتایج این پژوهش هم‌چنین نشان می‌دهد که توده گابروی کنگره در موقعیت زمین‌ساختی جزیره کمانی شکل گرفته است. بر این اساس می‌توان نتیجه گرفت که طی دوران مژوزئیک در مجاورت کرانه قاره‌ای ایران (پهنه سندنج-سیرجان) جزایر کمانی حضور داشته‌اند که پس از بسته‌شدن اقیانوس نتوتیس به کرانه قاره ایران (منطقه قروه) پیوسته‌اند.

واژه‌های کلیدی: گابرو؛ پیروکسن؛ محیط زمین‌ساختی؛ دما-فشارسنگی؛ قروه؛ سندنج - سیرجان.

قروه قرار دارد. این توده از سنگ‌های گابرویی به همراه مقداری دیوریت و دایک‌های گرانیتی تشکیل شده است. عزیزی و همکاران [۷] گابروی کنگره را از نظر شیمی سنگ کل و مقدار ماده ایزوتوفی بررسی کرده و آن را پیامد فعالیت ماقمایی در یک جزیره کمانی در مجاورت کرانه قاره‌ای غیرفعال (پهنه سندنج-سیرجان) دانسته‌اند، که در ژوراسیک تا کرتاسه رخ داده است. در این پژوهش، نویسنده‌گان علاوه بر ترکیب سنگ کل، از ترکیب کانی پیروکسن نیز برای بررسی جایگاه زمین‌ساختی گابروی کنگره بهره جسته‌اند، تا نتایج بررسی‌های پیشین را کامل تر سازند. هم‌چنین دما و فشار بلور این سنگ-ها نیز بر پایه ترکیب شیمیایی پیروکسن‌ها بررسی شده است، تا چگونگی شکل‌گیری گابروی کنگره بیش از پیش روش گردد.

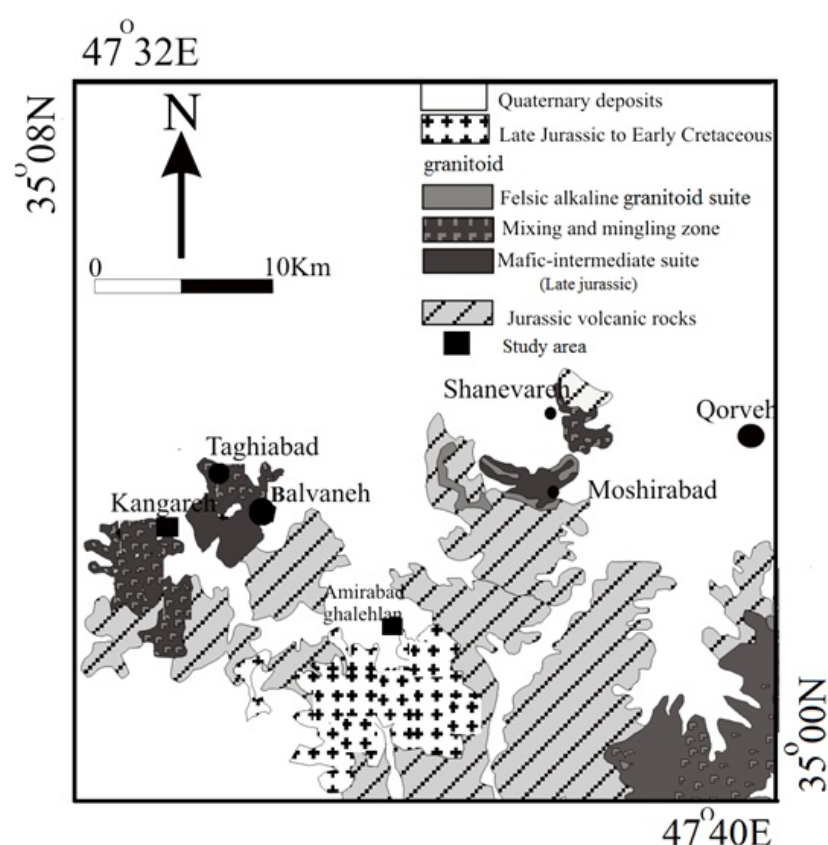
مقدمه
منطقه قروه واقع در جنوب استان کردستان پیشینه زمین‌شناسی منحصر به فردی دارد و جایگاه زمین‌ساختی آن موضوع بحث پژوهشگران طی سال‌های اخیر بوده است [۸-۱]. بهطور کلی می‌توان گفت که دو نظریه در مورد جایگاه زمین‌ساختی قروه وجود دارد: ۱) جزیره کمانی طی تریاس و ژوراسیک [۷] و ۲) کرانه فعال قاره‌ای طی این زمان [۸]. حضور توده‌های متعدد بازی، حدواتسط و اسیدی با ویژگی‌های نسبتاً متغیر و نیز حضور گرانیت‌ویدهای نوع A2 در این منطقه [۸-۱۰] بیانگر این است که شکل‌گیری همه آن‌ها تنها در یک رویداد زمین‌ساختی و فعالیت ماقمایی مشترک رخ نداده است و این موضوع نیاز به بررسی بیشتر دارد.

توده گابروی منطقه کنگره (که در این مقاله گابروی کنگره نامیده می‌شود) در جنوب‌غربی استان کردستان و شهرستان

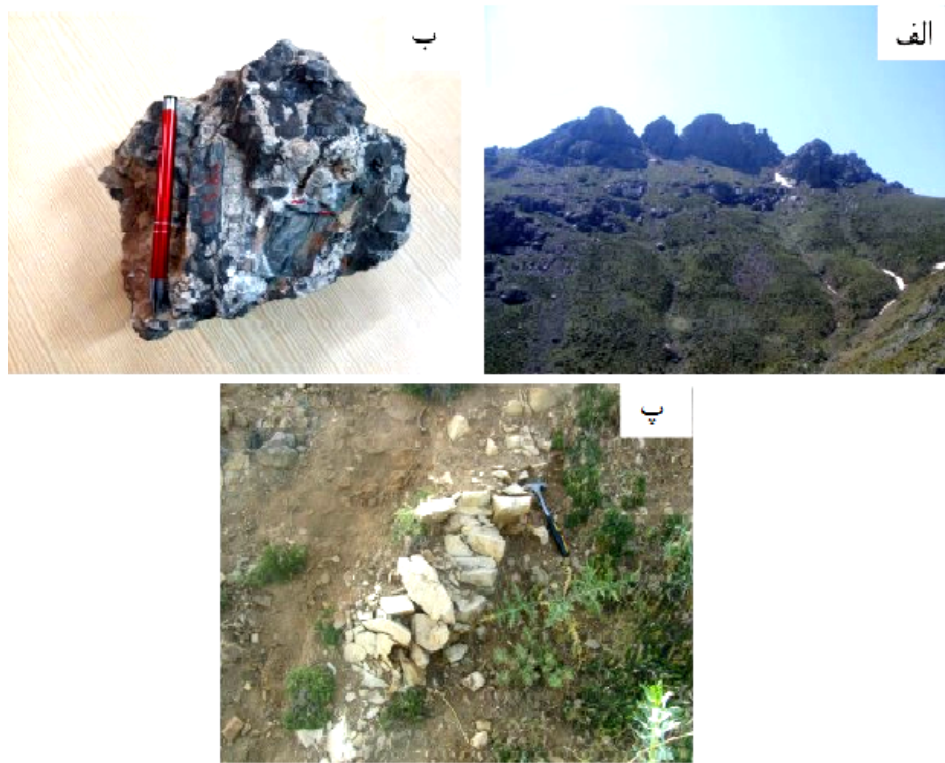
توده آذرین نفوذی کنگره به شکل یک بیضی نامنظم و با ریختار نسبتاً ملایم با امتداد شمال‌شرقی - جنوب‌غربی در جنوب روستای کنگره واقع شده (شکل ۱) و به درون سنگ‌های دگرگونی پنجه‌علی نفوذ کرده است (شکل ۲ الف). در نمونه دستی سنگ‌های این توده به رنگ خاکستری تیره تا سیز تیره هستند و ساخت توده‌ای دارند. این سنگ‌ها درشتدانه تا بسیار درشتدانه هستند، به طوری که در برخی نقاط اندازه بلورها به بیش از ۵ سانتی‌متر می‌رسد (شکل ۲ ب). در کناره توده، سنگ‌ها ریزدانه‌تر شده‌اند و در برخی نقاط می‌توان آثار میلیونی‌ته شدن را مشاهده کرد که سبب جهت‌یافتنی کانی‌ها شده است. تغییر از سنگ‌شناسی گابرویی به دیوریتی به صورت یکباره صورت نمی‌گیرد و در بیشتر موارد نمی‌توان مرزی مشخص برای آن در نظر گرفت. این امر می‌تواند به دلیل آمیزش و آلایش ماقمایی باشد. در توده کنگره، سنگ‌های فلسی با ترکیب گرانیتی نیز حضور دارند اما به ندرت دیده می‌شوند و اغلب به صورت دایک‌های آپلتی و پگماتیتی با خاصیت چند سانتی‌متر تا حدود ۱ متر بخش‌های گابرویی را قطع کرده‌اند (شکل ۲ ج).

زمین‌شناسی منطقه و مشاهدات صحرایی

منطقه قروه در بخش شمالی پهنه سندنج-سیرجان قرار دارد و از سنگ‌های آذرین بیرونی و درونی به همراه توالی ضخیمی از سنگ‌های دگرگونی شامل آمفیبولیت، مرمر و میکاشیست تشکیل شده است. براساس سن‌سنجدی‌های انجام شده تا کنون، سن توده‌های آذرین درونی این منطقه ۱۵۰ تا ۱۷۰ میلیون سال (تریاس تا ژوراسیک) است [۳، ۶-۸]. اما چنان که در بالا اشاره شد، در مورد چگونگی شکل‌گیری این توده‌ها اتفاق نظر وجود ندارد. باور عمومی بر این است که فرورانش پوسته اقیانوسی نئوتیس به زیر پوسته ایران، سبب ایجاد یک کرانه فعال قاره‌ای طی دوران مژوزوئیک شده که با فعالیت ماقمایی گسترشده همراه بوده است و توده‌های آذرین قروه نیز طی آن شکل گرفته‌اند. این در حالی است که عزیزی و همکاران [۷] پهنه ماقمایی قروه و سنقر را جزایر کمانی در نظر می‌گیرند که از فرورانش پوسته اقیانوس نئوتیس به زیر پوسته اقیانوسی متصل به پوسته قاره‌ای ایران شکل گرفته و پس از برخورد پوسته عربستان به ایران، به پهنه سندنج-سیرجان پیوسته‌اند.



شکل ۱ نقشه زمین‌شناسی منطقه کنگره، برگرفته از مرجع [۱].



شکل ۲ الف) نمایی از توده کنگره و کوه پنجه‌علی از مسیر کنگره. ب) پگماتیت برداشت شده از منطقه کنگره که دارای بلورهای درشت هورنبلنده و پلازیوکلاز است (طول مقیاس = ۱۴cm). پ) نمایی از دایک‌های فلسی که توده کنگره را قطع کرده‌اند.

سنگنگاری گابروهای مورد مطالعه

بافت‌های غالب این سنگ‌ها نیمه شکلدار دانه‌ای، خال خال، پوست ماری، نیمه پوست ماری و میان دانه‌ای هستند. پلازیوکلاز (حدود ۵۰-۶۰ درصد)، پیروکسن (۳۰-۳۵ درصد)، هورنبلنده (۱۰ تا ۱۵ درصد) و بیوتیت ($<10\%$) کانی‌های اصلی این سنگ‌ها را تشکیل می‌دهند و کوارتز، تیتانیت، آپاتیت و اکسیدهای آهن کانی‌های فرعی آنها هستند. سریسیت، کلریت، اکتینولیت، ترمولیت و اپیدوت کانی‌های ثانویه این نمونه‌ها هستند که از دگرسانی پلازیوکلاز، پیروکسن و آمفیبول حاصل شده‌اند (شکل‌های ۳ الف و ب). پلازیوکلازها به صورت بلورهای شکل‌دار تا نیمه‌شکل‌دار، دارای دوقطبی‌های آلبیتی، کارلسbad و نیز ساخت منطقه‌ای هستند و در نمونه‌های دگرسان شده به سریسیت و اپیدوت تبدیل شده‌اند. پلازیوکلازهای نمونه‌های بخش‌های مرکزی توده گابرویی درشت‌تر و شکل‌دارتر از پلازیوکلازهای بخش‌های کناری که به صورت بلورهای کوچک، باریک و نیمه‌شکل دیده می‌شوند هستند (شکل‌های ۳ الف و ب). این موضوع نشان دهنده اختلاف در سرعت تبلور بخش‌های کناری در مقایسه با بخش‌های مرکزی است. بلورهای پیروکسن به صورت شکل‌دار تا نیمه‌شکل‌دار دیده می‌شوند و با

روش بررسی

به منظور انجام این پژوهش، تعداد ۴۰ نمونه از بخش‌های مختلف توده گابروی کنگره برداشت شده و مقاطع نازک آن‌ها توسط میکروسکوپ قطبشی بررسی شد. از میان این نمونه‌ها، تعداد ۹ نمونه با کمترین میزان دگرسانی برای تجزیه سنگ کل به روش طیفسنجی جرمی پلاسمای جفت شده القایی (ICP-MS) انتخاب شده و در آزمایشگاه Acme ونکور کانادا توسط دستگاه مدل Spectro Arcos/Ciros Vision (برای تعیین اکسیدهای اصلی)، و دستگاه مدل ELAN9000 (برای تعیین عناصر فرعی) تجزیه شدند (جدول ۱). عناصر اصلی، عناصر فرعی و خاکی نادر در مجموع شامل ۴۴ عنصر بودند که جهت تعیین عناصر اصلی از روش‌های ذوب لیتیم متابرات و ICP-MS و برای تعیین عناصر فرعی از روش‌های ذوب لیتیم متابرات و طیف سنجی نشری پلاسمای جفت شده القایی ICP-OES، استفاده شد. از این نمونه‌ها تعداد ۴۰ نقطه از ۷ بلور پیروکسن با کمترین میزان دگرسانی در آزمایشگاه دانشگاه نیوبرانسیک کشور کانادا با استفاده از دستگاه ریزپردازشگر الکترونی مدل JEOL JXA-733 با ولتاژ شتاب دهنده kV ۱۵ و جریان nA ۳۰ تجزیه شدند (جدول ۲).

در این سنگ‌ها هستند که به صورت بلورهای بی‌شکل حضور دارند و در برخی موارد به کلریت و اکتینولیت دگرسان شده‌اند اما به طور کلی سالم‌تر از پیروکسن‌ها هستند. این بلورها نیز گاهی میانبارهای پلاژیوکلاز هستند. بیوتیت‌ها به صورت بلورهای ریز و با رنگ قهوه‌ای در مقطع نازک دیده می‌شوند و دسر برخی موارد کلریتی شده‌اند.

توجه به رنگ تداخلی سری دوم و زاویه خاموشی ۳۶ تا ۵۰ درجه، می‌توان آنها را از نوع دیوپسید و اوژیت دانست. این بلورها نیز در نمونه‌های دگرسان شده به ترمولیت و اکتینولیت تبدیل شده‌اند. پیروکسن‌ها پس از پلاژیوکلازها تبلور یافته‌اند چرا که آنها طی رشد بلورهای کوچکتر پلاژیوکلاز را به صورت میانبار در خود گرفته‌اند (شکل ۳ الف). هورنبلندها کانی مافیک

جدول ۱ نتایج تجزیه شیمیایی انواع گابروهای مورد بررسی (اکسیدهای عناصر اصلی بر حسب درصد وزنی و عناصر کمیاب بر حسب ppm بیان).

| Sample | B.S.4 | B.S.5 | B.S.6 | T.S.1 | K.S.11 | K.S.21 | K.S.24 | K.S.42 | K.S.47 |
|--------------------------------|-------|-------|-------|-------|--------|--------|--------|--------|--------|
| SiO ₂ | ۴۸,۸۲ | ۴۹,۱۳ | ۴۹,۸۴ | ۴۸,۵ | ۴۸,۸۲ | ۴۸,۹۱ | ۴۹,۰۴ | ۴۸,۹۴ | ۴۹,۴۵ |
| Al ₂ O ₃ | ۲۱,۱۹ | ۱۸,۵۲ | ۱۶,۲۴ | ۱۶,۰۵ | ۱۸,۷۲ | ۱۷,۵ | ۱۶,۸ | ۱۷ | ۲۲,۴ |
| Fe ₂ O ₃ | ۶,۵۵ | ۶,۸۱ | ۷,۰۲ | ۷,۶ | ۶,۹ | ۶,۵ | ۷,۳ | ۷,۹ | ۴,۵ |
| MgO | ۵,۲ | ۷,۲ | ۸,۲ | ۱۰,۴۵ | ۷,۲۱ | ۹,۰۲ | ۸,۱۴ | ۸,۴ | ۵,۲۲ |
| CaO | ۱۲,۳ | ۱۳,۷ | ۱۴,۳ | ۱۲,۶ | ۱۲,۷ | ۱۲,۸ | ۱۲,۵۳ | ۱۱,۴ | ۱۲,۹ |
| Na ₂ O | ۲,۸ | ۲,۳ | ۲,۲ | ۱,۹۵ | ۲,۵ | ۲,۲۳ | ۲,۵ | ۲,۵ | ۲,۷ |
| K ₂ O | ۰,۴۳ | ۰,۲ | ۰,۳ | ۰,۲۲ | ۰,۴۳ | ۰,۴۱ | ۰,۴ | ۰,۸ | ۰,۴۵ |
| TiO ₂ | ۰,۹ | ۰,۶ | ۰,۶ | ۰,۴۶ | ۰,۸۴ | ۰,۴۲ | ۱,۲ | ۰,۹۹ | ۰,۴ |
| P ₂ O ₅ | ۰,۰۸ | ۰,۰۲ | ۰,۰۲ | ۰,۰۶ | ۰,۰۶ | ۰,۰۶ | ۰,۱۷ | ۰,۱۱ | ۰,۰۳ |
| MnO | ۰,۱ | ۰,۱۱ | ۰,۱۲ | ۰,۱۲ | ۰,۱۱ | ۰,۱ | ۰,۱۳ | ۰,۱۳ | ۰,۰۷ |
| Cr ₂ O ₃ | ۰,۰۲ | ۰,۰۸ | ۰,۰۳ | ۰,۱۵ | ۰,۰۶ | ۰,۱۳ | ۰,۰۷ | ۰,۰۷ | ۰,۰۲ |
| مجموع | ۹۹,۸۳ | ۹۹,۸۵ | ۹۹,۸۵ | ۹۹,۸۶ | ۹۹,۸۵ | ۹۹,۸۷ | ۹۹,۸۴ | ۹۹,۸۵ | ۹۹,۸۵ |
| LOI | ۱,۵ | ۱,۲ | ۱,۱ | ۱,۷ | ۱,۶ | ۱,۸ | ۱,۶ | ۱,۶ | ۱,۶ |
| Ba | ۷۲ | ۳۶ | ۵۵ | ۳۴ | ۶۶ | ۵۷ | ۵۴ | ۹۷ | ۶۶ |
| Ni | ۴۰ | ۴۸ | ۶۰ | ۱۳۰ | ۷۱ | ۱۰۵ | ۸۴ | ۷۸ | ۶۴ |
| Sc | ۲۲ | ۴۳ | ۵۳ | ۴۴ | ۳۸ | ۴۰ | ۴۳ | ۳۸ | ۲۷ |
| Be | <۱ | <۱ | <۱ | <۱ | ۲ | <۱ | ۱ | <۱ | ۳ |
| Co | ۲۹ | ۳۲,۱ | ۳۴,۸ | ۴۳,۸ | ۳۲,۳ | ۳۵,۱ | ۳۴,۶ | ۳۸,۹ | ۲۰,۱ |
| Cs | ۱,۴ | ۰,۶ | ۰,۶ | ۰,۵ | ۱ | ۱,۱ | ۰,۵ | ۱,۵ | ۱,۵ |
| Ga | ۱۵,۳ | ۱۳,۵ | ۱۲,۴ | ۱۰,۴ | ۱۳,۸ | ۱۰,۶ | ۱۳,۵ | ۱۲,۲ | ۱۶,۵ |
| Hf | ۱,۱ | ۰,۵ | ۰,۵ | ۰,۵ | ۱ | ۰,۷ | ۱,۹ | ۲ | ۰,۶ |
| Nb | ۲,۵ | ۱,۱ | ۱,۱ | ۰,۲ | ۲,۸ | ۰,۵ | ۴,۸ | ۲,۶ | ۱,۱ |
| Rb | ۱۶,۸ | ۶,۱ | ۹,۸ | ۵,۳ | ۱۴,۵ | ۱۴,۲ | ۱۰,۷ | ۲۵,۹ | ۱۳,۲ |
| Sr | ۵۷۳,۵ | ۴۴,۰ | ۳۹,۰ | ۳۱۲,۷ | ۴۵,۸ | ۳۳۵,۸ | ۴۲۰,۶ | ۲۳۵,۶ | ۶۶۳,۲ |
| Ta | ۰,۳ | <۰,۱ | <۰,۱ | <۰,۱ | ۰,۳ | <۰,۱ | ۰,۳ | ۰,۲ | <۰,۱ |
| Th | ۰,۵ | ۰,۵۲ | ۰,۳ | ۰,۳ | ۰,۷ | ۰,۵ | ۱,۱ | ۰,۷ | ۰,۶۷ |
| U | <۰,۱ | <۰,۱ | <۰,۱ | ۰,۱ | ۰,۲۳ | ۰,۱ | ۰,۴ | ۰,۳ | <۰,۱ |
| V | ۲۰,۳ | ۱۹,۰ | ۱۹,۵ | ۱۴۲ | ۱۷۹ | ۱۳۸ | ۲۳۷ | ۱۷۴ | ۹۴ |
| W | ۰,۶ | <۰,۵ | <۰,۵ | ۰,۶ | ۰,۹ | <۰,۵ | ۱,۶ | <۰,۵ | ۰,۷ |
| Zr | ۳۵,۹ | ۱۵,۶ | ۱۶,۵ | ۲۲,۱ | ۳۵,۵ | ۲۲,۶ | ۷۳,۲ | ۷۹,۷ | ۱۶ |
| Y | ۹,۹ | ۷,۷ | ۸,۸ | ۹,۴ | ۱۰,۴۳ | ۸,۳ | ۱۷,۸ | ۱۸,۳ | ۶,۴ |
| La | ۴,۵ | ۳,۱ | ۲,۴ | ۳,۱ | ۴,۰۹ | ۳ | ۷ | ۶,۳ | ۲,۹ |
| Ce | ۹,۹ | ۵,۹ | ۵,۲ | ۶,۶ | ۸,۶ | ۶,۵ | ۱۴,۹ | ۱۳,۷ | ۵,۹ |
| Pr | ۱,۳۱ | ۰,۷۶ | ۰,۸۶ | ۰,۸۶ | ۱,۱۹ | ۰,۸۸ | ۲,۱۳ | ۲,۰۵ | ۰,۷۳ |
| Nd | ۶,۳ | ۳,۸ | ۴,۴ | ۴,۸ | ۵,۶ | ۴,۴ | ۹,۴ | ۹,۵ | ۳,۲ |
| Sm | ۱,۶ | ۱,۱۵ | ۱,۴ | ۱,۲ | ۱,۵ | ۱,۱۲ | ۲,۵ | ۲,۶ | ۰,۹۶ |
| Eu | ۰,۸۵ | ۰,۶۹ | ۰,۷۵ | ۰,۶۴ | ۰,۸۲ | ۰,۵۶ | ۱,۰۲ | ۰,۹۴ | ۰,۷۶ |
| Gd | ۱,۸۹ | ۱,۵۶ | ۱,۹ | ۱,۷ | ۲ | ۱,۶ | ۳,۳۵ | ۲,۱۱ | ۱,۲۵ |
| Tb | ۰,۳۱ | ۰,۲۵ | ۰,۳۲ | ۰,۲۸ | ۰,۳۲ | ۰,۲۴ | ۰,۶ | ۰,۵۳ | ۰,۲ |
| Dy | ۱,۵۶ | ۱,۹۵ | ۲,۴۸ | ۱,۲۳ | ۲,۰۷ | ۱,۴۹ | ۳,۷۴ | ۲,۳۷ | ۱,۱۹ |
| Ho | ۰,۳۳ | ۰,۴۲ | ۰,۴۸ | ۰,۲۲ | ۰,۴۱ | ۰,۳۱ | ۰,۷۴ | ۰,۶۷ | ۰,۲۴ |
| Er | ۰,۸۹ | ۱ | ۱,۳۴ | ۰,۷۹ | ۱,۱۷ | ۰,۹۳ | ۲,۰۹ | ۲,۰۴ | ۰,۶۵ |
| Tm | ۰,۱۲ | ۰,۱۶ | ۰,۲ | ۰,۱۲ | ۰,۱۷ | ۰,۱۳ | ۰,۲۸ | ۰,۱۸ | ۰,۹ |
| Yb | ۰,۷ | ۰,۸۷ | ۱,۲۹ | ۰,۷۴ | ۱,۰۱ | ۰,۷۱ | ۱,۸۷ | ۱,۶۹ | ۰,۵۶ |
| Lu | ۰,۱۱ | ۰,۱۴ | ۰,۱۹ | ۰,۱۴ | ۰,۱۶ | ۰,۱۲ | ۰,۲۷ | ۰,۲۶ | ۰,۰۸ |

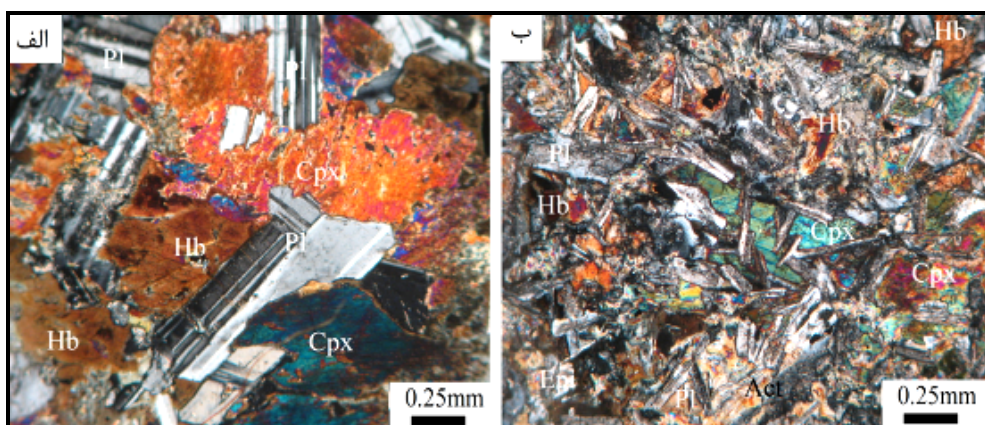
آهن کل به صورت Fe₂O₃ محاسبه شده. ۲. LOI: مقدار آب از دست رفته در دمای ۰°C

جدول ۲ نتایج تجزیه نقطه‌ای پیروکسن‌های موجود در گابروی کنگره (اکسیدهای عناصر اصلی بر حسب درصد وزنی بیان شده‌اند).

| نمونه | نقطه | Na ₂ O | MgO | Al ₂ O ₃ | SiO ₂ | K ₂ O | CaO | TiO ₂ | Cr ₂ O ₃ | MnO | FeO | مجموع |
|--------|------|-------------------|-------|--------------------------------|------------------|------------------|-------|------------------|--------------------------------|-------|------|--------|
| B.S.4 | ۱ | ۰,۲۴ | ۱۱,۷ | ۱,۸ | ۵۸,۸ | ۰,۰۱۶ | ۲۰,۳ | ۰,۴۵ | ۰ | ۰,۲۵ | ۵,۵ | ۹۹ |
| | ۲ | ۰,۱۴ | ۱۲,۱۴ | ۱,۴۳ | ۵۵,۵ | ۰,۰۴ | ۲۳,۳۵ | ۰,۳ | ۰ | ۰,۲۶ | ۵,۵۴ | ۹۹,۷ |
| | ۳ | ۰,۲۷ | ۱۱,۹ | ۲,۶ | ۵۷,۱ | ۰,۰۲ | ۲۱,۲۱ | ۰,۶ | ۰ | ۰,۲۱ | ۵,۰۳ | ۹۸,۹ |
| | ۴ | ۰,۳۵ | ۱۱,۹ | ۳ | ۵۷,۹ | ۰,۰۳ | ۲۰,۷ | ۰,۷ | ۰ | ۰,۲۱ | ۵,۲ | ۱۰۰,۱ |
| | ۵ | ۰,۴۲ | ۱۲,۰۶ | ۳,۸ | ۵۷,۱ | ۰,۰۴ | ۲۰,۴ | ۰,۹ | ۰ | ۰,۲ | ۵,۰۳ | ۱۰۰ |
| B.S.5 | ۱ | ۰,۳۳ | ۱۲ | ۳,۷ | ۵۷,۴ | ۰,۰۵ | ۲۰,۵ | ۰,۸۶ | ۰ | ۰,۲ | ۵,۱ | ۱۰۰,۱ |
| | ۲ | ۰,۴۲ | ۱۲,۱ | ۳,۵ | ۵۷,۸ | ۰,۰۴ | ۲۰,۲ | ۰,۶۶ | ۰ | ۰,۲ | ۵,۱۶ | ۱۰۰,۰۵ |
| | ۳ | ۰,۴ | ۱۲,۰۹ | ۳,۳ | ۵۷,۵ | ۰,۰۴ | ۲۰,۶ | ۰,۷۵ | ۰ | ۰,۲ | ۵,۱۳ | ۱۰۰,۰۱ |
| | ۴ | ۰,۴ | ۱۲,۰۵ | ۳,۶ | ۵۷,۶ | ۰,۰۵ | ۲۰,۲ | ۰,۸ | ۰ | ۰,۲ | ۵,۱۳ | ۱۰۰ |
| | ۵ | ۰,۵۱ | ۱۲,۰۲ | ۳,۹ | ۵۶,۸ | ۰,۰۹ | ۱۹,۲ | ۱,۱۵ | ۰ | ۰,۲۱ | ۵,۹ | ۱۰۰ |
| B.S.6 | ۱ | ۰,۳ | ۱۱,۹ | ۳,۶ | ۵۷,۷ | ۰,۰۱۵ | ۲۰,۶ | ۰,۷ | ۰ | ۰,۲۳ | ۵,۵۵ | ۱۰۰,۰۲ |
| | ۲ | ۰,۳۸ | ۱۲ | ۳,۴ | ۵۷,۶ | ۰,۰۰۶ | ۲۰,۲۵ | ۰,۸ | ۰ | ۰,۲۱ | ۵,۴ | ۱۰۰,۰۲ |
| | ۳ | ۰,۳۲ | ۱۱,۹ | ۳,۹ | ۵۵,۵ | ۰,۰۲ | ۲۰,۵ | ۰,۸۴ | ۰ | ۰,۲ | ۵,۰۵ | ۹۸,۱ |
| | ۴ | ۰,۳۱ | ۱۱,۹ | ۳,۹ | ۵۷,۷ | ۰,۰۰۷ | ۲۰,۰۹ | ۰,۸۲ | ۰ | ۰,۲ | ۵,۱۵ | ۱۰۰,۰۴ |
| | ۵ | ۰,۳۳ | ۱۱,۸ | ۳,۴ | ۵۷,۸ | ۰,۰۲ | ۲۰,۵ | ۰,۸۴ | ۰ | ۰,۲۲ | ۵,۱۳ | ۱۰۰ |
| B.S.7 | ۱ | ۱,۲ | ۱۲,۲ | ۴,۷ | ۵۶,۸ | ۰,۲۶ | ۱۹,۱۴ | ۰,۰۶ | ۰ | ۰,۲۶ | ۵,۵ | ۱۰۰,۰۶ |
| | ۲ | ۰,۴۱ | ۱۳,۲ | ۲,۲۱ | ۵۵,۲ | ۰,۰۸ | ۲۰,۵ | ۰,۰۵ | ۰ | ۰,۲۶ | ۸,۱ | ۱۰۰,۰۱ |
| | ۳ | ۰,۲۶ | ۱۲ | ۲,۳ | ۵۴,۶ | ۰,۰۰۶ | ۲۱,۱۲ | ۰,۶ | ۰ | ۰,۲۲ | ۵,۹۴ | ۹۷,۰۳ |
| | ۴ | ۰,۴۴ | ۱۲,۲ | ۴,۱ | ۵۷,۴ | ۰,۱ | ۱۸,۷ | ۱,۰۱ | ۰ | ۰,۲۱ | ۵,۸۳ | ۱۰۰ |
| B.S.8 | ۱ | ۰,۲۵ | ۱۴,۱۱ | ۲,۲۳ | ۵۲,۷ | ۰,۰۵ | ۲۱,۴ | ۰,۲۴ | ۰,۰۶ | ۰,۲۵ | ۸,۲ | ۹۹,۵ |
| | ۲ | ۰,۳۳ | ۱۳,۹ | ۲,۰۷ | ۵۲,۰۷ | ۰ | ۲۲,۵ | ۰,۸۵ | ۰,۰۵ | ۰,۲۵۵ | ۷,۸ | ۹۹,۷ |
| | ۳ | ۰,۲۵ | ۱۳,۹ | ۱,۴۶ | ۵۲,۴ | ۰,۰۰۳ | ۲۲,۸ | ۰,۳ | ۰,۰۴ | ۰,۲۷ | ۸ | ۹۹,۴ |
| | ۴ | ۰,۳ | ۱۴,۲ | ۲,۰۳ | ۵۳,۰۲ | ۰ | ۲۲,۱۲ | ۰,۵ | ۰,۰۲ | ۰,۳ | ۸,۰۵ | ۱۰۰,۶ |
| | ۵ | ۰,۱۷ | ۱۴,۲ | ۱,۴ | ۵۳,۶ | ۰,۰۰۳ | ۲۲,۵ | ۰,۱۳ | ۰,۰۲ | ۰,۲۲ | ۷,۵ | ۹۹,۷ |
| | ۶ | ۰,۳۱ | ۱۳,۵ | ۲,۵ | ۵۲,۱ | ۰,۰۰۲ | ۲۲,۶ | ۰,۵۳ | ۰,۰۴ | ۰,۲۴ | ۸ | ۹۹,۸ |
| K.S.33 | ۱ | ۰,۵۱ | ۱۲,۲۴ | ۳,۸ | ۵۶,۵ | ۰,۰۳ | ۱۹,۸ | ۱,۲۵ | ۰ | ۰,۱۹ | ۵,۶ | ۹۹,۹ |
| | ۲ | ۰,۴۵ | ۱۲,۴ | ۳,۴ | ۵۶,۷ | ۰,۰۰۳ | ۱۹,۲ | ۱,۱ | ۰ | ۰,۱۹ | ۵,۵ | ۹۹,۹ |
| | ۳ | ۰,۳۴ | ۱۲,۶ | ۳,۰۴ | ۵۷,۲ | ۰,۰۰۸ | ۱۹,۸ | ۱,۰۴ | ۰ | ۰,۲۱ | ۵,۸ | ۹۹,۹۷ |
| | ۴ | ۰,۵ | ۱۲,۲ | ۳,۹۹ | ۵۶,۵ | ۰,۰۳ | ۲۰,۲ | ۱,۰۵ | ۰ | ۰,۱۸ | ۵,۴۳ | ۱۰۰ |
| | ۵ | ۰,۴۵ | ۱۲,۳ | ۳,۶ | ۵۶,۸ | ۰,۰۳ | ۲۰,۲ | ۰,۹۳ | ۰ | ۰,۲ | ۵,۴ | ۹۹,۹ |
| | ۶ | ۰,۴۶ | ۱۲,۳ | ۳,۷ | ۵۶,۷ | ۰,۰۰۶ | ۱۹,۸ | ۱,۱ | ۰ | ۰,۱۹ | ۵,۷ | ۱۰۰ |
| | ۷ | ۰,۴ | ۱۲,۵۶ | ۳,۵ | ۵۶,۸ | ۰,۰۰۱ | ۱۹,۸ | ۱,۱۴ | ۰ | ۰,۲ | ۵,۶۲ | ۱۰۰ |
| | ۸ | ۰,۴۷ | ۱۲,۳ | ۳,۷ | ۵۶,۶ | ۰,۰۲ | ۲۰,۱۷ | ۱,۰۹ | ۰ | ۰,۲ | ۵,۴۳ | ۱۰۰ |
| K.S.36 | ۱ | ۰,۵ | ۱۴,۳ | ۳,۱۱ | ۵۰,۵۸ | ۰ | ۲۰,۹ | ۱,۱ | ۰,۰۳ | ۰,۲ | ۸,۲ | ۹۸,۹ |
| | ۲ | ۰,۳۶ | ۱۴,۶ | ۳,۲۵ | ۵۰,۹ | ۰ | ۲۱,۰۸ | ۱,۱۴ | ۰,۰۴ | ۰,۲ | ۸,۲۲ | ۹۹,۸۴ |
| | ۳ | ۰,۵ | ۱۴,۵ | ۲,۸۵ | ۵۱,۵۶ | ۰ | ۲۱,۹ | ۱ | ۰,۰۶ | ۰,۱۸ | ۷,۶ | ۱۰۰,۰۹ |
| | ۴ | ۰,۴۳ | ۱۴,۷۵ | ۳,۱۱ | ۵۰,۴۲ | ۰ | ۲۰,۸ | ۱,۲۲ | ۰,۰۵ | ۰,۲۲ | ۸,۵ | ۹۹,۵۵ |
| | ۵ | ۰,۴۳ | ۱۴,۷ | ۳,۱۸ | ۵۰,۴۴ | ۰ | ۲۲ | ۱,۱۸ | ۰,۰۲ | ۰,۲۲ | ۷,۴۵ | ۹۸,۸ |
| | ۶ | ۰,۴۶ | ۱۴,۶ | ۳,۶ | ۵۱,۴۱ | ۰ | ۲۰,۹۵ | ۱,۳ | ۰,۱۷ | ۰,۱۹ | ۸,۱۱ | ۱۰۰,۷ |
| | ۷ | ۰,۴ | ۱۴,۶ | ۳,۳ | ۵۱,۵۵ | ۰ | ۲۱,۴ | ۱,۱۶ | ۰,۱۳ | ۰,۲۲ | ۷,۹۵ | ۱۰۰,۷ |

ادامه جدول ۲ محاسبه کاتیون‌های پیروکسن بر اساس ۶ اکسیژن.

| نمونه | نقطه | Si | Al ^{IV} | Al ^{VI} | Fe ^{III} | Cr | Ti | Fe ^{II} | Mn | Mg | Ca | Na | K |
|--------|------|-------|------------------|------------------|-------------------|-------|-------|------------------|-------|------|-------|------|------|
| B.S.4 | ۱ | ۱,۱۵ | -۰,۱۱ | ۰,۱۹ | . | . | ۰,۰۱ | ۰,۲ | ۰,۰۱ | ۰,۶۴ | ۰,۸ | ۰,۰۲ | ,۰۰۱ |
| | ۲ | ۱,۷ | -۰,۰۱ | ۰,۰۷ | . | . | ۰,۰۱ | ۰,۲ | ۰,۰۱ | ۰,۷ | ۰,۹ | ۰,۰۱ | ,۰۰۲ |
| | ۳ | ۰,۹۹ | -۰,۰۹ | ۰,۰۲ | . | . | ۰,۰۲ | ۰,۱۶ | ۰,۰۰۶ | ۰,۶۴ | ۰,۸ | ۰,۰۲ | ,۰۰۱ |
| | ۴ | ۲,۰۸ | -۰,۰۸ | -۰,۲۱ | . | . | ۰,۰۲ | ۰,۱۶ | ۰,۰۰۶ | ۰,۶۴ | ۰,۸ | ۰,۰۲ | ,۰۰۱ |
| | ۵ | ۲,۰۵ | -۰,۰۵ | -۰,۲۱ | . | . | ۰,۰۲ | ۰,۱۶ | ۰,۰۰۶ | ۰,۶۶ | ۰,۸ | ۰,۰۳ | ,۰۰۲ |
| B.S.5 | ۱ | ۱,۹۹ | -۰,۰۳ | ۰,۱۶ | . | . | ۰,۰۳ | ۰,۲ | ۰,۰۰۶ | ۰,۷ | ۰,۸ | ۰,۰۲ | ,۰۰۲ |
| | ۲ | ۲,۰۷ | -۰,۰۷ | ۰,۰۲ | . | . | ۰,۰۲ | ۰,۱۶ | ۰,۰۰۶ | ۰,۶۵ | ۰,۸ | ۰,۰۳ | ,۰۰۲ |
| | ۳ | ۲,۰۷ | -۰,۰۷ | ۰,۰۲ | . | . | ۰,۰۲ | ۰,۲ | ۰,۰۰۶ | ۰,۶۴ | ۰,۸ | ۰,۰۲ | ,۰۰۲ |
| | ۴ | ۲,۰۶ | -۰,۰۷ | ۰,۰۲ | . | . | ۰,۰۲ | ۰,۱۶ | ۰,۰۰۶ | ۰,۶۴ | ۰,۸ | ۰,۰۳ | ,۰۰۲ |
| | ۵ | ۲,۰۵ | -۰,۰۴ | -۰,۲۱ | . | . | ۰,۰۳ | ۰,۲ | ۰,۰۰۶ | ۰,۶۵ | ۰,۷۴ | ۰,۰۴ | ,۰۰۴ |
| B.S.6 | ۱ | ۲,۰۷ | -۰,۰۷ | -۰,۲۱ | . | . | ۰,۰۲ | ۰,۲ | ۰,۰۱ | ۰,۶۴ | ۰,۸ | ۰,۰۲ | ,۰۰۱ |
| | ۲ | ۲,۰۷ | -۰,۰۷ | -۰,۲۱ | . | . | ۰,۰۲ | ۰,۱۶ | ۰,۰۱ | ۰,۶۴ | ۰,۷ | ۰,۰۲ | . |
| | ۳ | ۱,۰۶ | -۰,۰۶ | -۰,۲۲ | . | . | ۰,۰۲ | ۰,۱ | ۰,۰۰۶ | ۰,۶۳ | ۰,۸ | ۰,۰۲ | ,۰۰۱ |
| | ۴ | ۲,۰۶ | -۰,۰۷ | -۰,۲۲ | . | . | ۰,۰۲ | ۰,۱۶ | ۰,۰۰۶ | ۰,۶ | ۰,۷ | ۰,۰۲ | . |
| | ۵ | ۲,۰۷ | -۰,۰۷ | -۰,۲۲ | . | . | ۰,۰۲ | ۰,۱۶ | ۰,۰۱ | ۰,۶۳ | ۰,۷۸ | ۰,۰۲ | . |
| B.S.7 | ۱ | -۰,۹۵ | ۱,۰۵ | -۰,۲۳ | ۱,۲۴ | . | ۰,۰۲ | -۰,۶ | ۰,۰۱ | ۱,۰۶ | -۰,۳۶ | ۰,۰۹ | ,۰۱ |
| | ۲ | ۱ | ۱,۰۱ | ۰,۰۶ | ۱۳ | . | ۰,۰۱ | -۰,۷ | ۰,۰۱ | ۱,۴ | -۰,۲۶ | ۰,۰۳ | ,۰۰۴ |
| | ۳ | ۱,۱۱ | -۰,۱۱ | ۰,۲ | . | . | ۰,۰۲ | ۰,۱ | ۰,۰۱ | ۰,۶۴ | ۰,۸۱ | ۰,۰۲ | . |
| | ۴ | ۲,۰۶ | -۰,۰۶ | -۰,۲۳ | . | . | ۰,۰۳ | ۰,۲ | ۰,۰۰۶ | ۰,۶ | ۰,۷۲ | ۰,۰۳ | . |
| B.S.8 | ۱ | ۱,۹۶ | -۰,۴ | -۰,۰۶ | . | ۰,۰۰۲ | ۰,۰۱ | ۰,۳ | ۰,۰۱ | ۰,۸ | ۰,۹ | ۰,۰۲ | . |
| | ۲ | ۱,۹۴ | -۰,۰۶ | -۰,۰۳ | ۰,۰۱ | ۰,۰۰۱ | ۰,۰۲ | ۰,۲۳ | ۰,۰۰۸ | ۰,۷۷ | ۰,۹ | ۰,۰۲ | . |
| | ۳ | ۱,۹۶ | -۰,۰۴ | -۰,۰۳ | ۰,۰۱ | . | ۰,۰۰۸ | ۰,۲۴ | ۰,۰۰۸ | ۰,۷۷ | ۰,۹ | ۰,۰۲ | . |
| | ۴ | ۱,۹۵ | -۰,۰۴ | -۰,۰۴ | . | . | ۰,۰۱ | ۰,۲۵ | ۰,۰۱ | ۰,۸ | ۰,۸۷ | ۰,۰۲ | . |
| | ۵ | ۲ | -۰,۰۱ | -۰,۰۵ | . | . | ۰,۰۰۳ | ۰,۲۳ | ۰,۰۰۷ | ۰,۸ | ۰,۹ | ۰ | . |
| | ۶ | ۱,۹۴ | -۰,۰۶ | -۰,۰۵ | . | . | ۰,۰۱ | ۰,۲۵ | ۰,۰۱ | ۰,۷۵ | ۰,۹ | ۰,۰۲ | . |
| K.S.33 | ۱ | ۲,۰۴ | -۰,۰۴ | ۰,۲ | . | . | ۰,۰۳ | ۰,۲ | ۰,۰۱ | ۰,۶۶ | ۰,۸ | ۰,۰۴ | . |
| | ۲ | ۲,۰۵ | -۰,۰۵ | ۰,۲ | . | . | ۰,۰۳ | ۰,۲ | ۰,۰۱ | ۰,۷ | ۰,۸ | ۰,۰۳ | . |
| | ۳ | ۲,۰۶ | -۰,۰۶ | ۰,۲ | . | . | ۰,۰۳ | ۰,۲ | ۰,۰۱ | ۰,۷ | ۰,۸ | ۰,۰۲ | . |
| | ۴ | ۲,۰۳ | -۰,۰۳ | ۰,۲ | . | . | ۰,۰۳ | ۰,۱۷ | ۰,۰۰۶ | ۰,۷ | ۰,۸ | ۰,۰۲ | . |
| | ۵ | ۲,۰۵ | -۰,۰۵ | ۰,۲ | . | . | ۰,۰۳ | ۰,۱۶ | ۰,۰۰۵ | ۰,۷ | ۰,۸ | ۰,۰۳ | . |
| | ۶ | ۲,۰۴ | -۰,۰۴ | ۰,۲ | . | . | ۰,۰۳ | ۰,۱۸ | ۰,۰۰۵ | ۰,۶ | ۰,۷ | ۰,۰۳ | . |
| | ۷ | ۲,۰۳ | -۰,۰۳ | -۰,۱۸ | . | . | ۰,۰۳ | ۰,۱۷ | ۰,۰۰۶ | ۰,۷ | ۰,۸ | ۰,۰۳ | ,۰۰۶ |
| | ۸ | ۲,۰۳ | -۰,۰۳ | -۰,۱۸ | . | . | ۰,۰۳ | ۰,۱۶ | ۰,۰۰۶ | ۰,۷ | ۰,۷ | ۰,۰۳ | ,۰۰۶ |
| K.S.36 | ۱ | ۱,۹ | -۰,۰۹ | ۰,۰۴ | ۰,۰۵ | . | ۰,۰۳ | ۰,۲۱ | ۰,۰۰۶ | ۰,۸ | -۰,۸۴ | ۰,۰۳ | . |
| | ۲ | ۱,۹ | -۰,۱ | ۰,۰۴ | ۰,۰۴ | . | ۰,۰۳ | ۰,۲۱ | ۰,۰۰۶ | ۰,۸ | -۰,۸۴ | ۰,۰۲ | . |
| | ۳ | ۱,۹۱ | -۰,۰۹ | ۰,۰۴ | ۰,۰۴ | ۰,۰۲ | ۰,۰۳ | ۰,۲ | ۰,۰۰۶ | ۰,۸ | ۰,۹ | ۰,۰۳ | . |
| | ۴ | ۱,۸۹ | -۰,۱۱ | -۰,۰۳ | ۰,۰۷ | ۰,۰۱ | ۰,۰۳ | ۰,۲ | ۰,۰۰۷ | ۰,۸۲ | -۰,۸۲ | ۰,۰۳ | . |
| | ۵ | ۱,۹ | -۰,۱ | ۰,۰۴ | ۰,۰۵ | ۰,۰۱ | ۰,۰۳ | ۰,۱۸ | ۰,۰۰۷ | ۰,۸ | ۰,۹ | ۰,۰۳ | . |
| | ۶ | ۱,۸۹ | -۰,۱۱ | -۰,۰۵ | ۰,۰۳ | ۰,۰۱ | ۰,۰۳ | ۰,۲۲ | ۰,۰۰۶ | ۰,۸ | -۰,۸۳ | ۰,۰۴ | . |
| | ۷ | ۱,۹ | -۰,۰۱ | ۰,۰۴ | ۰,۰۲ | ۰,۰۱ | ۰,۰۳ | ۰,۲۲ | ۰,۰۰۷ | ۰,۸ | -۰,۸۴ | ۰,۰۳ | . |



شکل ۳ (الف) بافت نیمه شکل دار دانه‌ای و بلورهای درشت پلازیوکلاز در گابرو که توسط بلورهای کلینوپیروکسن و هورنبلند دربرگرفته شده‌اند (XPL). (ب) بافت پوست ماری در گابرو با بلورهای پلازیوکلاز دگرسان شده که فضای بین آن‌ها توسط پیروکسن و آمفیبول پر شده است (XPL). Cpx: کلینوپیروکسن، Hb: هورنبلند، Pl: پلازیوکلاز.

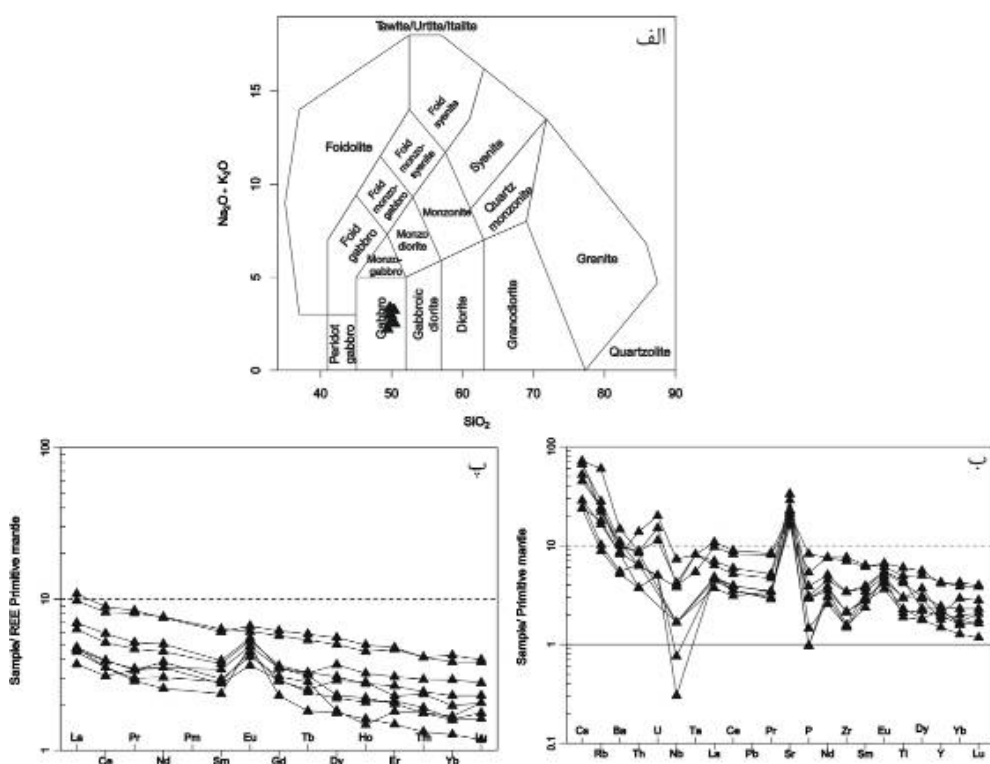
A/NK=۳/۵ دارای طبیعت شبه رخسانی هستند [۱۲]. نمودار عناصر فرعی نمونه‌های مورد بررسی که نسبت به گوشته اولیه [۱۳] بهنجار شده‌اند، در شکل ۴ ب ارائه شده است. چنان که مشخص است، بیشتر نمونه‌ها دارای ناهنجاری منفی در عناصر Zr, Ti, P, Nb و برای عناصر Rb, Eu و Sr ناهنجاری مثبت نشان می‌دهند. غنی‌شدگی نسبی این نمونه‌ها در عناصر سنگ‌دوست بزرگ‌یون مانند U, Ba و

Rb در این سنگ‌ها ناهنجاری مشخص است (شکل ۴ ب). نمودار عناصر خاکی نادر (REE) بهنجار شده به مقادیر گوشته اولیه [۱۴] این نمونه‌ها نیز در شکل ۴ پ نشان داده شده است. الگوی بهنجار شده عناصر REE دارای شیب منفی بوده و از عناصر خاکی نادر سبک (LREE) غنی و از عناصر خاکی نادر سنگین (HREE) تهی شده است. به طور کلی جدایش اندکی بین عناصر سبک و سنگین به چشم می‌خورد (La_N/Yb_N=۲,۴۴-۴,۴). همه نمونه‌ها دارای ناهنجاری مثبت (Eu/Eu^{*}=۱,۰۲-۲,۵۷) غنی‌شدگی از LREE در گابروهای کنگره در نتیجه جدایش کانی‌ها [۱۵] و منبع اولیه غنی از LREE قابل توجیه است.

کوارتز نیز به صورت دانه‌ریز، بی‌شکل و دارای خاموشی موجی است که گویای تنש‌های اعمال شده بر سنگ است. حضور کوارتز در این گابروها می‌تواند در اثر آلایش با رسوبات هنگام بالا آمدن مذاب رخ داده باشد. بلورهای تیتانیت اغلب به صورت دانه‌ریز و بی‌شکل‌اند. بلورهای ریز و کشیده آپاتیت به صورت میان‌بار در برخی بلورهای پلازیوکلاز دیده می‌شوند.

زمین‌شیمی سنگ کل

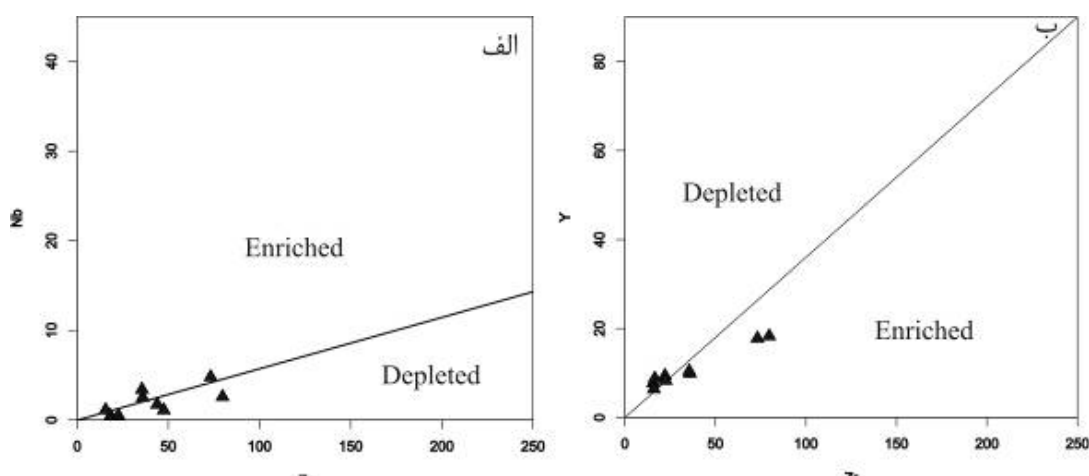
مقدار SiO₂ نمونه‌های مورد بررسی از ۴۸,۸ تا ۴۹,۸ درصد وزنی تغییر می‌کند و در نمودار طبقه‌بندی سنگ‌های آذرین [۱۱]، همه آنها در گستره گابرو قرار می‌گیرند (شکل ۴ الف). عدد منیزیم در این نمونه‌ها تقریباً بالاست (۰,۶-۰,۷٪). به طور کلی این سنگ‌ها دارای Al₂O₃ (۱۶-۲۲,۴wt%)، CaO (۱۱,۳-۱۴,۳wt%)، MgO (۵,۲-۱۰,۵wt%) و TiO₂ (۰,۲-۰,۸wt%)، K₂O (۱,۹-۲,۸wt%)، Na₂O (۰,۲-۰,۸wt%)، P₂O₅ (۰,۴-۱,۲wt%) و P هستند. با افزایش مقادیر SiO₂, P₂O₅, K₂O و Na₂O، CaO و MgO کاهش می‌یابد. همچنین گابروهای کنگره با توجه به مقادیر A/CNK=۰,۵-۰,۹ و A/CNK=۰,۷-۰,۷



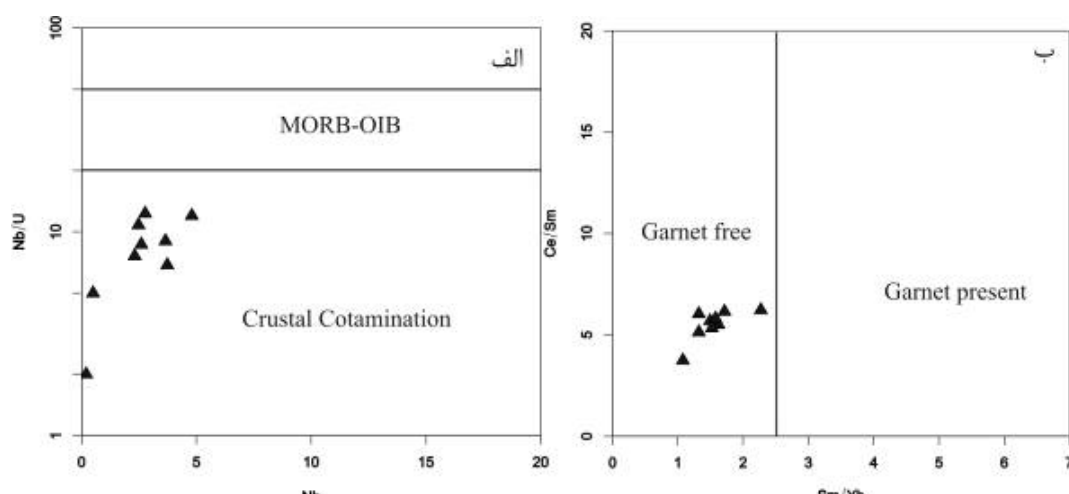
شکل ۴ (الف) رده‌بندی سنگ‌های مورد بررسی بر اساس نمودار عنکبوتی گابروهای مورد بررسی، بهنجار شده با مقادیر گوشته اولیه [۱۱]. (ب) نمودار عناصر خاکی نادر گابروهای مورد بررسی، بهنجار شده با مقادیر REE گوشته اولیه [۱۴].

پوسته‌ای است. از آنجا که تبلور جدایشی نمی‌تواند تغییرات اساسی در نسبت‌های این عناصر ناسازگار ایجاد کند [۲۰]. بنابراین می‌توان گفت که بروز تغییرات در این نسبت‌ها می‌تواند به علت تفاوت درجه ذوب‌بخشی از یک منبع همگن [۲۱] و یا در اثر ناهمگنی خاستگاه [۲۲] باشد. از طرفی، ناهنجاری منفی Nb و مقدار پایین نسبت Nb/La (۱۳) نشان‌دهنده آلایش Nb-Nb است [۲۳]. همچنین با توجه به نمودار U/Nb [۲۴] می‌توان به نقش آلایش پوسته‌ای در تشکیل ماقمای سازنده سنگ‌های مورد بررسی پی برد (شکل ۶ الف). برای تعیین حضور و عدم حضور گارنت در ناحیه خاستگاه از نمودار نسبت‌های Sm/Yb-Ce/Sm [۲۵] استفاده شد، که براساس این نمودار (شکل ۶ ب) گابروهای منطقه در گستره ناحیه خاستگاه بدون گارنت ترسیم شده‌اند.

ناهنجاری مثبت Eu و Sr در این نمونه‌ها به دلیل حضور مقادیر بالای پلازیوکلаз رخ داده است و نشان می‌دهد که در ناحیه خاستگاه آن‌ها ذوب‌بخشی تا اندازه‌ای پیشرفته داشته است که پلازیوکلازها تا حد زیادی در ترکیب ماقما شرکت نموده‌اند [۱۸-۱۶]. به منظور تعیین غنی‌شدگی یا تهی‌شدگی در خاستگاه گابروهای مورد بررسی، از نسبت‌های عناصر ناسازگار Y-Zr و Nb-Zr استفاده شد [۱۳]. از آنجا که این عناصر در برابر سیال‌ها غیر متحرک هستند، می‌توانند اطلاعاتی در مورد منبع گوشت‌های و میزان غنی‌شدگی و تهی‌شدگی آن در اختیار قرار دهند [۱۹]. بر اساس شکل‌های ۵ الف و ب، نمونه‌های گابروی کنگره در گستره گوشت‌های تهی‌شده (Depleted mantle) قرار می‌گیرند، البته برخی نمونه‌ها در گستره غنی شده واقع شده‌اند که احتمالاً به دلیل آلایش



شکل ۵ نمودارهای تفکیک خاستگاه غنی‌شده و تهی‌شده برای گابروهای مورد بررسی [۱۳]. الف) نمودار Nb-Zr و ب) نمودار Y-Zr

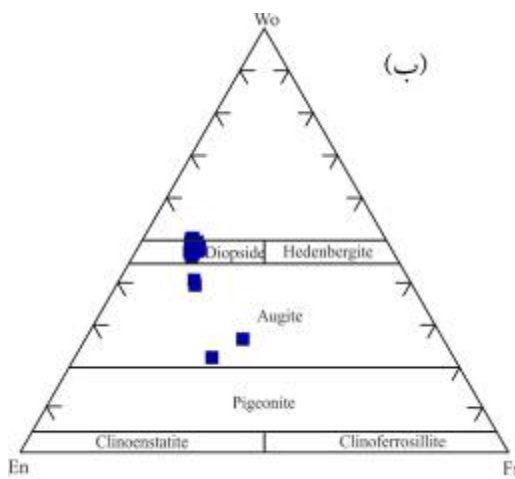


شکل ۶ الف) نمودار Nb نسبت به Nb/U جهت تعیین نقش آلایش پوسته‌ای در تشکیل گابروهای مورد بررسی [۲۴]. ب) نمودار Sm/Yb نسبت به Ce/Sm [۲۵]، جهت تعیین حضور و عدم حضور گارنت در ناحیه خاستگاه سنگ‌های مورد بررسی.

به قرار گرفتن نمونه‌های مورد بررسی در گستره Quad، برای رده‌بندی آنها می‌توان از نمودار استاتیت-ولاتونیت-فروسیلیت [۲۶]، استفاده کرد که در آن کلینوپیروکسن‌ها در گستره اوزیت و دیوپسید هستند (شکل ۷ ب). این نتایج با ویژگی‌های میکروسکوپی پیروکسن‌ها همخوانی دارد.

تعیین سری ماقمایی

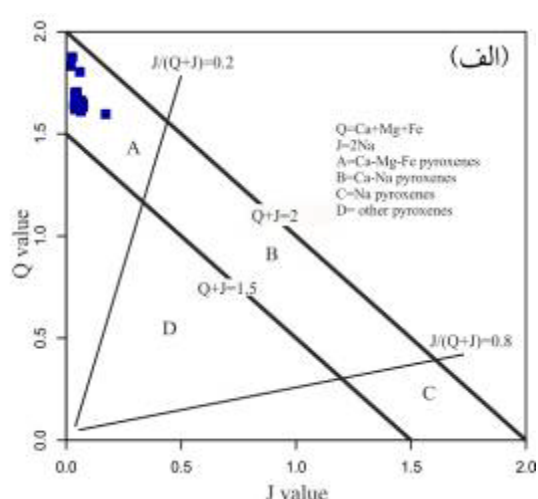
نمونه‌های گابروی مورد بررسی، بر اساس نمودار Th-Co [۲۷] و نمودار K₂O نسبت به SiO₂ [۲۸] ویژگی‌های زمین‌شیمیایی سنگ‌های سری تولئیتی تا اندری آهکی-قلیایی را نشان می‌دهند (شکل‌های ۸ الف و ب). ترکیب شیمیایی کلینوپیروکسن‌ها بازتابی از ماهیت سنگ‌های میزبان آن‌هاست، به‌طوری که تنوع ترکیبی کلینوپیروکسن‌ها اغلب مربوط به تغییرات در شیمی ماقماست. گفته می‌شود که مقادیر Al، Si و Ti در شبکه بلوری پیروکسن به شدت با قلیائیت ماقماً ارتباط دارد [۲۹]. بر اساس ترکیب کلینوپیروکسن، نمودارهایی جهت تعیین سری‌های ماقمایی ارائه شده است (شکل‌های ۸ پ و ت) که بر اساس آن‌ها کلینوپیروکسن‌های مورد بررسی در نمودار Al₂O₃ نسبت به TiO₂ در گستره سری‌های ماقمایی آهکی-قلیایی تا اندری تولئیتی قرار گرفته (شکل ۸ پ) و در نمودار Al₂O₃ نسبت به SiO₂ در گستره سری ماقمایی نیمه قلیایی واقع می‌شوند (شکل ۸ ت). نتایج این نمودارها همخوانی خوبی با نمودارهای شیمی سنگ کل نشان می‌دهند.



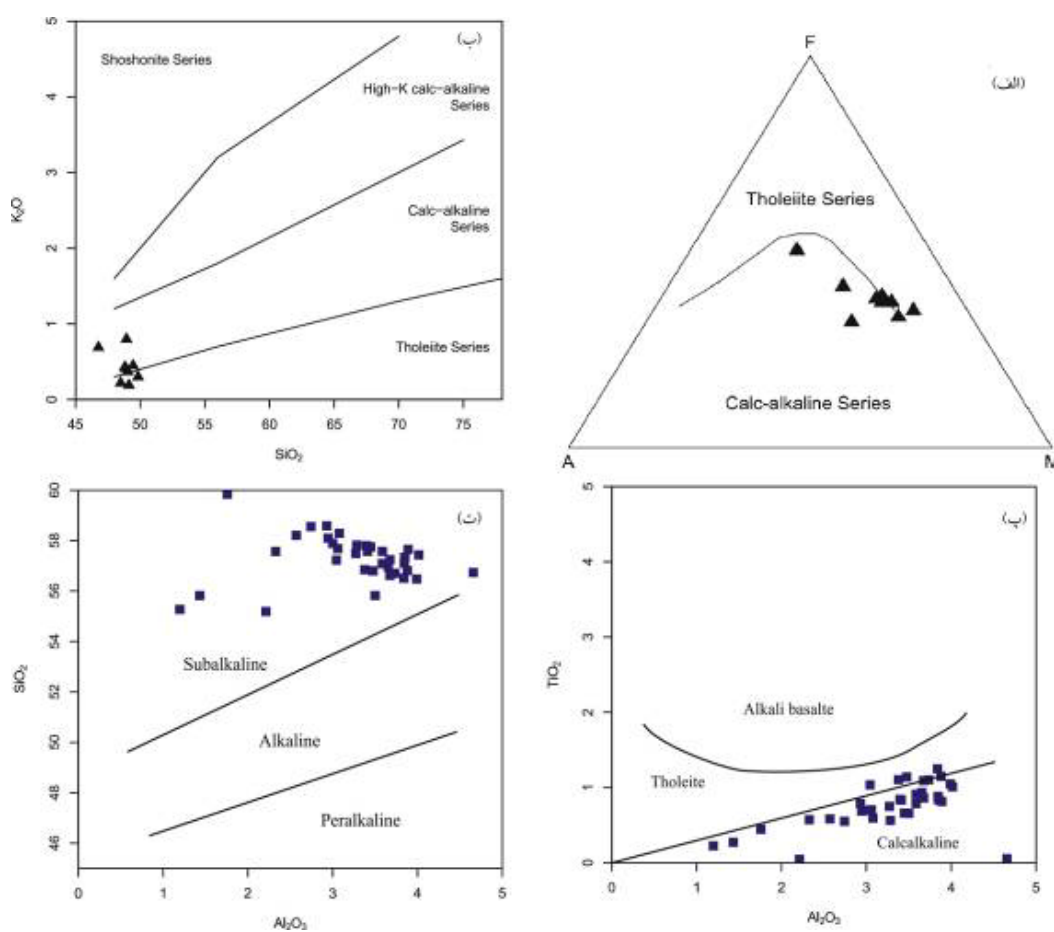
شکل ۷ (ب) رده‌بندی پیروکسن‌های کنگره در نمودار Q-J [۲۶].

شیمی کانی پیروکسن

پیروکسن به گروه سیلیکات‌های زنجیره‌ای مضاعف تعلق دارد که با فرمول M₂M₁T₂O₆ تعریف می‌شود و شامل یک جایگاه چاروجهی (T) و دو جایگاه هشتوجهی (M₂, M₁) موقعیت اکتاهدری است. بنا بر نظر موریموتو [۲۶]، قرارگیری کاتیون‌ها در فرمول به صورت زیر است: ۱) کاتیون‌های Si⁴⁺ و Al³⁺ و سپس Fe³⁺ در مکان T جایگزین می‌شوند و مجموع کاتیون‌های مکان T برابر ۲ است. ۲) مجموع کاتیون‌های جایگاه M₁ برابر ۱ است و کاتیون‌های Al³⁺ و Fe³⁺ باقی‌مانده از جایگاه T در این جایگاه قرار می‌گیرند. در صورتی که Al³⁺ و Fe³⁺ برای پرشدن جایگاه M₁ کافی نباشد، کاتیون‌هایی مانند Ti⁴⁺, V³⁺, Cr³⁺ و ... می‌توانند در این جایگاه قرار گیرند. ۳) کاتیون‌های باقی‌مانده از جایگاه M₁ مانند Mn²⁺, Fe²⁺, Mg²⁺ و Li⁺ در این جایگاه جایگزین شده و در مرحله بعد کاتیون‌های Ca²⁺ و Na⁺ در جایگاه M₂ قرار می‌گیرند که ظرفیت آن حدود ۱ است. نتایج حاصل از تجزیه نقطه‌ای پیروکسن‌های کنگره در جدول ۲ ارائه شده است. ترکیب اعضای انتهایی کلینوپیروکسن‌های کنگره کنگره Wo_{42.5-48.3} بوده و میانگین عدد منیزیم (Mg# = Mg/(Mg+Fe²⁺)) این کانی ۰.۸۶ است. براساس نمودار Q-J [۲۶]، پیروکسن‌های مورد بررسی در گستره آهن-منیزیم-کلسیم‌دار (Quad) قرارگیری (شکل ۷ الف). با توجه



شکل ۷ (الف) رده‌بندی پیروکسن‌های کنگره در نمودار Q-J [۲۶].



شکل ۸ تعیین سری ماقمایی کنگره توسط ترکیب سنگ کل (الف) نمودار $(A=Na_2O+K_2O, F=FeO^t, M=MgO)$ AFM [۲۷]. ب) نمودار K_2O نسبت به SiO_2 [۲۸]. سری ماقمایی کنگره توسط شیمی کانی پ) نمودار TiO_2 نسبت به Al_2O_3 و ت) نمودار TiO_2 نسبت به Al_2O_3 [۲۹].

به سمت بازالت پشتہ‌های میان اقیانوسی (MORB) گرایش دارند (شکل ۹ ت). اگر اوال و همکاران [۳۳] نمودارهایی را بر اساس تغییرات عناصر فرعی La, Nb, Th, Sm و Yb طراحی نموده‌اند (شکل‌های ۱۰ الف، ب و پ) که در آنها نیز نمونه‌ها در گستره جزایر کمانی واقع می‌شوند. مزیت استفاده از این نمودارها این است که عناصر فرعی به کار رفته در آنها به نسبت نامتحرك هستند و کمتر دستخوش دگرسانی می‌شوند. در نمودار $Ti-Zr$ [۳۴] نیز نمونه‌ها بیشتر در بخش جزایر کمانی قرار می‌گیرند، اگرچه برخی از آن‌ها با MORB همپوشی دارند (شکل ۱۰ ت).

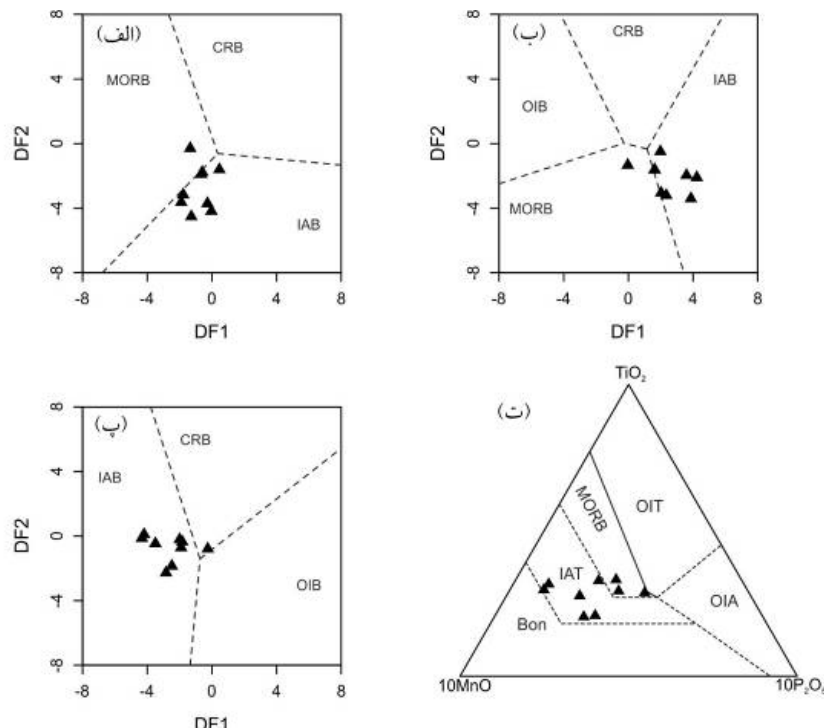
محیط زمین‌ساختی سنگ‌های آذرین را با استفاده از ترکیب شیمیایی کلینوپیروکسن‌ها نیز می‌توان تعیین کرد. در نمودار Ti نسبت به Al^T [۳۵] (شکل ۱۱ الف) و در نمودار سه‌تایی $SiO_2/100-TiO_2-Na_2O$ [۳۵] (شکل ۱۱ ب) نیز

محیط زمین‌ساختی ناهنجاری منفی عناصر P, Nb و Zr و ناهنجاری مثبت عناصر Rb, Sr و Eu به سنگ‌های شکل گرفته در محیط‌های فرورانشی نسبت داده شده است [۳۰، ۳۱]. اما در عین حال نمودارهایی نیز جهت بررسی این موضوع ارائه شده است. در اینجا، جهت تعیین محیط زمین‌ساختی گابروهای مورد بررسی از نمودارهای شیمی سنگ کل و نیز نمودارهای مربوط به ترکیب شیمیایی کانی پیروکسن استفاده شد.

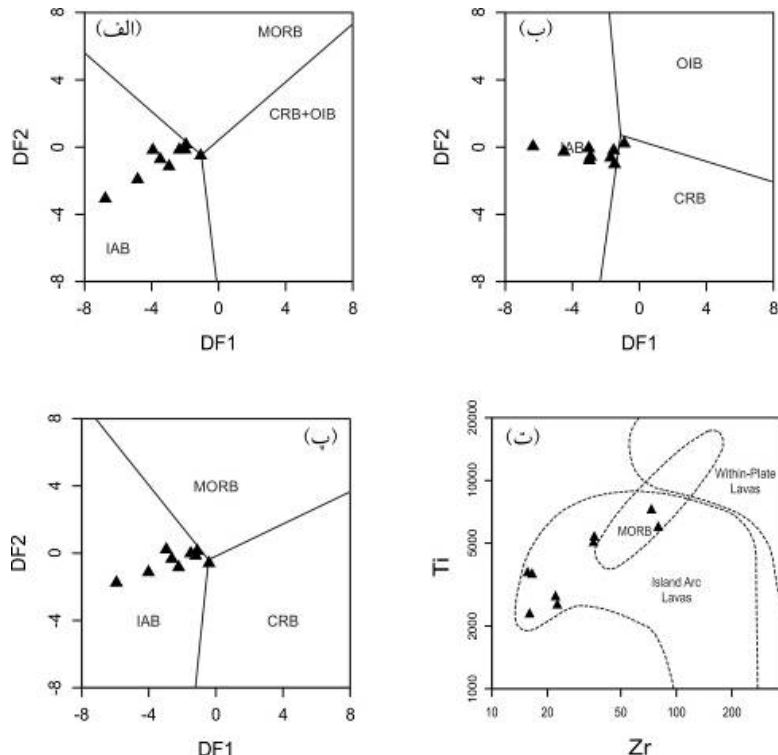
ورما و همکاران [۳۱] بر اساس تغییرات مقدار عناصر اصلی، عواملی را جهت بررسی محیط زمین‌ساختی گابروها ارائه نموده‌اند (شکل‌های ۹ الف، ب و پ). نمونه‌های مورد بررسی در این نمودارها بیشتر در بخش جزایر کمانی واقع می‌شوند. در نمودار $MnO-TiO_2-P_2O_5$ [۳۲]، نیز نمونه‌ها بیشتر در گستره تولیتی‌های جزایر کمانی قرار می‌گیرند، اگرچه برخی از آن‌ها

نمودارهای ارائه شده بر اساس شیمی سنگ کل دارد.

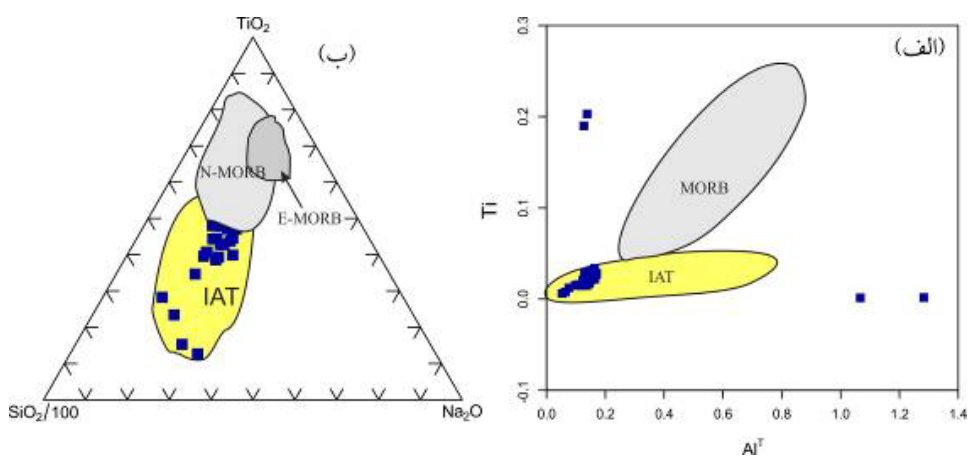
کلینوپیروکسن‌های مورد بررسی در گستره تولیت جزیره کمانی (IAT) قرار دارند که همخوانی بسیار خوبی با



شکل ۹ (الف، ب و پ) نمودارهای تعیین محیط زمین‌ساختی گابروهای منطقه بر اساس تغییرات مقدار عناصر اصلی [۳۱]، و (ت) نمودار [۳۲] $MnO-TiO_2-P_2O_5$.

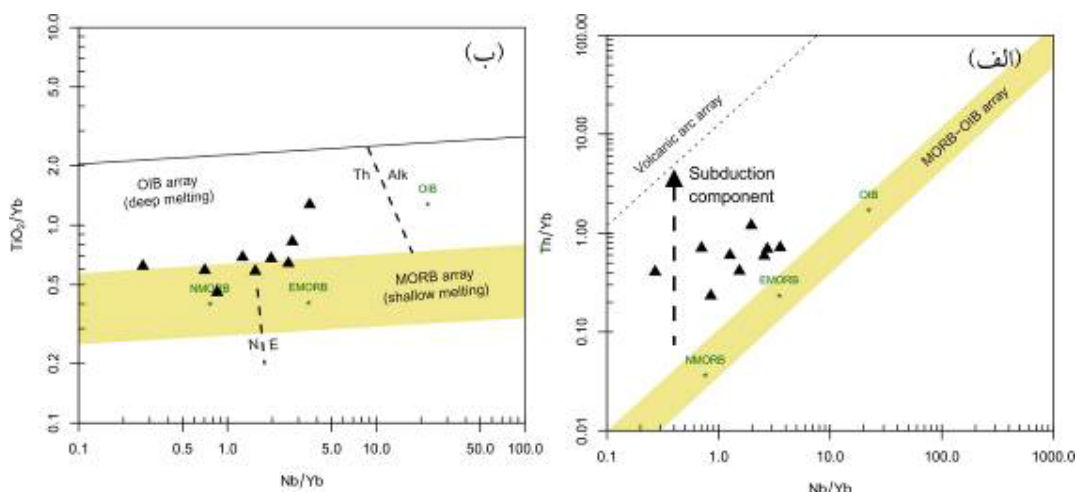


شکل ۱۰ (الف، ب و پ) نمودارهای تعیین محیط زمین‌ساختی گابروهای مورد بررسی بر اساس تغییرات مقدار عناصر فرعی [۳۳]، و (ت) نمودار جهت تعیین محیط زمین‌ساختی گابروهای منطقه [۳۴].



شکل ۱۱ (الف) نمودار Ti نسبت به Al^{T} سه متغیره $\text{SiO}_2/100\text{-TiO}_2\text{-Na}_2\text{O}$. [۳۵] (ب) نمودار سه متغیره Al^{T} نسبت به Th/Ti . [۳۵]

پشتیبانی می‌کند و نشان دهنده تشکیل توده گابروی کنگره در یک جزیره کمانی است. مقدار عناصر فرعی این گابروها نیز به مقادیر مورب (برای مثال، [۳۸]) نزدیک است. این موضوع در شکل‌های ۱۲ الف و ب نیز به نمایش در آمده است. چنان که دیده می‌شود، ترکیب گابروهای مورب بررسی مایبن ترکیب مورب‌های عادی و غنی شده قرار می‌گیرد. البته نقش مواد فرورانشی را نیز در ترکیب شیمیایی آنها باید در نظر گرفت، که سبب شده‌اند تا ترکیب گابروها از آرایش مورب فاصله بگیرد. تأثیر این رسوبات منطقه فرورانشی بر خاستگاه گابروها موجب شده است تا آنها اندکی ویژگی سنگ‌های آهکی‌قلیایی را کسب کنند. به هر حال، شباهت ترکیبی گابروهای مورب بررسی با مورب نشان دهنده تأثیر بسیار پوسته اقیانوسی بر خاستگاه این سنگ‌هاست، که چنین رویدادی در موقعیت‌های جزایر کمانی که در نتیجه فرورانش دو پوسته اقیانوسی به وجود می‌آیند، دیده می‌شود.



شکل ۱۲ (الف) نمودار Th/Yb نسبت به Nb/Yb [۳۰]. (ب) نمودار Th/Yb نسبت به Nb/Yb [۳۰].

دما و فشارسنجی

ترکیب شیمیایی پیروکسن‌ها ابزار مهمی برای سنجش دما و فشار تبلور سنگ‌های آذرین محسوب می‌شود. برای محاسبات دما-فشارسنجی از روش‌های برنامه صفحه گسترده اکسل [۳۶] استفاده شد. بر این اساس، دمای تشکیل گابروی کنگره ۱۰۵۰ تا ۱۱۷۰ درجه سانتی‌گراد (با مقدار میانگین حدود ۱۱۱۵ °C) و میانگین فشار تبلور ۸/۵ کیلوبار بدست آمد. مقادیر محاسبه شده برای دما و فشار با نتایج گزارش شده [۳۷] همخوانی دارد.

بحث و بررسی

سنگ‌های آذرین با ترکیب مافیک در بسیاری از محیط‌های زمین‌ساختی و در نظامهای زمین ساختی متفاوتی شکل می‌گیرند. در منطقه قزوون، چنان که پیشتر نیز بیان شد، در مورد تشکیل گابروها در محیط کرانه قاره و یا در محیط جزیره کمانی اختلاف نظر وجود دارد. نتایج این پژوهش از نظریه دوم

- Sanandaj-Sirjan Zone, Iran*", Journal of Asian Earth Sciences 41 (2011) 238-249.
- [4] Sepahi A. A., Maanijou M., Salami S., Gardideh S., Khaksar T., "Mineral chemistry and geothermobarometry of Moshirabad pluton, Qorveh, Kurdistan, western Iran", Island Arc (2012) 170-187.
- [5] Maanijou M., Aliani F., Miri., M. M., Lentz D. R., "Geochemistry and petrology of igneous assemblage in the south of Qorveh area, west Iran", Chemie der Erde 73 (2013) 181– 196.
- [6] Azizi H., Zanjefili-Beiranvand M., Asahara Y., "Zircon U-Pb ages and petrogenesis of a tonalite-trondjemite-granodiorite (TTG) complex in the northern Sanadaj-Sirjan zone, northwest Iran: Evidence for Late Jurassic arc-continent collision", Lithos 216-217 (2015a) 178-195.
- [7] Azizi H., Najari M., Asahara Y., Catlos E. J., Shimizu M., Yamamoto, K., "U-Pb zircon ages and geochemistry of Kangareh and Taghiabad mafic bodies in northern Sanandaj-Sirjan Zone: Evidence for intra-oceanic arc and back-arc tectonic regime in Late Jurassic", Tectonophysics 660 (2015b) 47-64.
- [8] Yajam S., Montero P., Scarrow J. H., Razavi S. M. H., Bea F., "The spatial and compositional evolution of the Late Jurassic Ghorveh-Dehgolan plutons of the Zagros Orogen, Iran: SHRIMP zircon U-Pb and Sr and Nd isotope evidence", Geologica Acta 13 (2015) 25-43.
- [9] Miri M. M., "The petrological and geochemical study igneous bodies yn Tekyeh-Bala area (SW Kurdistan) with special view on iron mineralization", MSc thesis, Bu-Ali-Sina University, Hamedan, Iran (in Persian) (2011) 143 p.
- [10] Aliani F., Maanijou M., Miri M. M., "Petrology of the Tekyeh-Bala area granite veins (northeast Sonqor), some evidences for A2-type granitoids", Petrology 9 (2012) 1-16 (in Persian).
- [11] Middlemost E. A. K., "Naming materials in the magma/igneous rock system", Earth Science Reviews (1994) 215-224.
- [12] Shand S. J., "Eruptive Rocks, their genesis, composition, classification and their relation to ore deposits", D. Van Nostrand Company. New York (1943) 444 pp.
- [13] Sun S. S., McDonough W. F., "Chemical and isotopic systematic of oceanic basalts; implications for mantle composition and processes", In: Saunders, A.D., Norry, M.J. (Eds.), Magmatism in the Ocean Basins. Geological Society of London (1989) 313–345 (Special Publication No. 42).

بررسی‌های ایزوتوپی صورت گرفته [۷] نشان داده اند که گابروهای کنگره از گوشه‌تهی شده نتیجه شده‌اند. پس از پیشروی پوسته اقیانوسی نئوتیس بین صفحه‌های ایران و عربستان طی پرمن، پوسته اقیانوسی به عنوان یک سیستم کمانی یا پشت کمانی در اوایل تا اواسط ژوراسیک شروع به فرورانش کرده است. به احتمال زیاد پوسته اقیانوسی نئوتیس از پرمن تا ژوراسیک میانی پیشروی نموده، و در این زمان شمال پهنه سندج-سیرجان در امتداد کرانه غیر فعال تحت-تأثیر نظام کششی قرار گرفته است. در این زمان، حجم زیادی از سنگ‌های آذرین مافیک بین رسوبات جای گرفته و توده‌های یاد شده را بوجود آورده‌اند [۷].

برداشت

پژوهش حاضر نشان می‌دهد که توده گابروی کنگره دارای پیروکسن‌هایی با ترکیب دیوپسید تا اوژیت است. بر اساس ترکیب شیمیایی پیروکسن‌ها، این توده در میانگین فشار ۸,۵ کیلوبار و میانگین دمای ۱۱۱۵ درجه سانتی‌گراد متبلور شده است. ناهنجاری منفی برای عنصر P, Nb, Ti و Zr و شدگی از عناصر خاکی نادر سبک و تهی شدگی از عناصر خاکی نادر سنگین در الگوهای عناصر خاکی نادر این توده، شکل‌گیری آن در یک محیط فرورانشی را نشان می‌دهد. ترکیب شیمیایی سنگ‌کل و کانی پیروکسن نشان دهنده شکل‌گیری توده گابروی کنگره در یک جزیره کمانی است که با نتایج عزیزی و همکاران [۷] همخوانی خوبی داشته و در واقع تکمیل‌کننده آن است. همچنین مقدار عناصر فرعی این گابروها به ترکیب مورب نزدیک است که از نظریه بیان شده حمایت می‌کند و نشان دهنده تأثیر زیاد پوسته اقیانوسی برخاستگاه آنهاست. البته تأثیر رسوبات ناشی از قاره را نیز باید در نظر گرفت که موجب بالا رفتن برخی از عناصر سنگ دوست بزرگ یون مانند Ba و Sr در این سنگ شده است.

مراجع

- [1] Hoseini M., "Geological map of Qorveh 1:100000", No.5560, Geological Survey of Iran, Tehran (1977).
- [2] Torkian A., Khalili M., Sepahi A. A., "Petrology and geochemistry of the I-type calc-alkaline Qorveh granitoid complex, Sanandaj-Sirjan zone, western Iran", Neues Jahrbuch für Mineralogie Abhandlungen 185 (2008) 131-142.
- [3] Mahmoudi S., Corfu F., Masoudi F., Mehrabi B., Mohajel M., "U-Pb dating and emplacement history of granitoid plutons in the northern

- [26] Morimoto N., “*Nomenclature of pyroxenes*”, Fortschr mineral 66 (1988) 237-252.
- [27] Irvine T. N., Baragar, W. R. A., “*A guide to the chemical classification of common volcanic rocks*”, Canadian Journal of Earth Sciences 8 (1971) 523-548.
- [28] Peccerillo A., Taylor S. R., “*Geochemistry of Eocene calc-alkaline volcanic rocks from the Kastamonu area, Northern Turkey*”, Contributions to Mineralogy and Petrology 58 (1976) 63-81.
- [29] Le Base M. J., “*The role of aluminum in igneous clinopyroxenes with relation to their parentage*”, American Journal of Science 260 (1962) 267-288.
- [30] Wilson M., “*Igneous Petrogenesis*”, London: Unwin Hyman press (1989) 466 pp.
- [31] Verma S. P., Guevara M., Agrawal S., “*Discriminating four tectonic settings: Five new geochemical diagrams for basic and ultrabasic volcanic rocks based on log-ratio transformation of major-element data*”, Journal of Earth System Science 115 (2006) 485-528.
- [32] Mullen E. D., “*MnO/TiO₂/P₂O₅: a minor element discriminant for basaltic rocks of oceanic environments and its implications for petrogenesis*”, Earth and Planetary Science Letters 62 (1983) 53-62.
- [33] Agrawal S., Guevara M., Verma S., “*Tectonic discrimination of basic and ultrabasic volcanic rocks through log-transformed ratios of immobile trace elements*”, International Geology Review 50 (2008) 1057-1079.
- [34] Pearce J. A., “*Trace element characteristics of lavas from destructive plate boundaries*”, In: R. S. Thorpe (ed) Andesites: Orogenic Andesites and Related Rocks. John Wiley & Sons, Chichester (1982) 525-548.
- [35] Beccaluva L., Macciotta G., Piccardo G. B., Zeda, O., “*Clinopyroxene composition of ophiolite basalts as petrogenetic indicator*”, Chemical Geology 77 (1989) 165-182.
- [36] Putrika K. D., “*Thermometers and Barometers for Volcanic Systems*”, Reviews in Mineralogy and Geochemistry 69 (2008) 61-120.
- [37] Greene A. R., Debari S. M., Kelemen P. B., Blusztajn J., Clift P. D., “*A Detailed Geochemical Study of Island Arc Crust: the Talkeetna Arc Section, South-Central Alaska*”, Journal of Petrology 47 (2006) 1051-1093.
- [38] Pearce J.A., “*Geochemical fingerprinting of oceanic basalts with applications to ophiolite classification and the search for Archean oceanic crust*”, Lithos 100 (2008) 14-48.
- [14] McDonough W., Sun S. S., “*The composition of the Earth*”, Chemical Geology 120 (1995) 223-253.
- [15] Haschke M., Siebel W., Gunther A., Scheuber, E., “*Repeated crustal thickening and recycling during the Andean orogeny in north Chile*”, Journal of Geophysical Research. 107 (2002) DOI: 10.1029/2001JB000328.
- [16] Henderson P., “*Rare Earth Element Geochemistry*”, Elsevier Science (1984) 501 pp.
- [17] Foley S. F., Wheller G. E., “*Parallels in the origin of the geochemical signatures of island arc volcanic and continental potassic igneous rocks: the role of residual titanites*”, Chemical Geology 85 (1990) 1-18.
- [18] Rollinson H. R., “*Using geochemical data: evaluation, presentation, interpretation*”, Longman Scientific and Technical press (1993) 352 pp.
- [19] Tatsumi Y., Hamilton D. L., Nesbitt R. W., “*Chemical characteristics of fluid phase released from subducted and natural rocks*”, Journal of Volcanology and Geothermal Research 29 (1986) 293-309.
- [20] Alvaro J. J., Ezzouhairi H., Vennin E., Ribeiro M. L., Clausen S., Charif A., Ait-Ayad N., Moreira M. E., “*The early-Cambrian Boho volcano of the El Graraa massif, Morocco: Petrology, Geodynamic setting and coeval sedimentation*”, Journal of African Earth Science 44 (2006) 396-410.
- [21] Rao D. R., Rai H., “*Signatures of rift environment in the production of garnet amphibolites and eclogites from Tso-Morari region, Ladakh, India: A geochemical study*”, Gondwana Research 9 (2006) 12-523.
- [22] Weaver, B. L., Tarney, J., “*The scourie dyke suite: Petrogenesis and geochemical nature of the Proterozoic subcontinental mantle*”, Contributions to Mineralogy and Petrology 78 (1981) 175-188.
- [23] Kurkcuoglu B., “*Geochemistry and petrogenesis of basaltic rocks from the Develidog volcanic complex, Central Anatolia, Turkey*”, Journal of Asian Earth Science 37 (2010) 42-51.
- [24] Yan J. Zhao J. X., “*Cenozoic alkali basalts from Jingpo hu, NE China: The role of lithosphere asthenosphere interaction*”, Journal of Asian Earth Science 33 (2008) 106-121.
- [25] Coban H., “*Basalt magma genesis and fractionation in collision and extension-related provinces: A comparison between eastern, central and western Anatolia*”, Earth Science Reviews 80 (2007) 219-238.